

Přírodovědecká fakulta Masarykovy univerzity

PRAKTIKUM Z FYZIKY PLAZMATU

Měření prvního Townsendova koeficientu

Zpracovali: Radek Horňák, Lukáš Vrána

Naměřeno: 1. 3. 2022

1 Teorie

Teorie lavin popsaná Townsendem vysvětluje základní ionizační mechanismus elektrického výboje. Mějme dvě paralelní kovové desky a mezi nimi homogenní elektrické pole E . Elektrony jsou v poli urychlovány a sráží se s neutrálními částicemi, přičemž může docházet k nepružným srážkám vedoucím k excitaci nebo ionizaci neutrálů. Pokud počet elektronů v místě x označíme n , pak podél dráhy dx vznikne ionizačními srážkami dn nových elektronů a platí

$$dn = n\alpha dx \quad (1)$$

kde α je označení pro první Townsendův, někdy nazývaný i ionizační koeficient. Ten vyjadřuje počet ionizačních srážek jednoho elektronu na jednotkové délce. Integrací získáme

$$\ln n = \alpha x + \text{konst} \quad (2)$$

a následnou úpravou dostáváme vztah

$$n = n_0 e^{\alpha x} \quad (3)$$

kde n_0 je počet elektronů v počátečním bodě $x = 0$. Ionizační koeficient závisí na intenzitě elektrického pole E a na tlaku plynu v aparatuře p . Je-li dán podíl E/p , můžeme psát

$$\alpha = p f\left(\frac{E}{p}\right) \quad (4)$$

tedy ionizační koeficient je úměrný počtu srážek na jednotku délky. Experimentální výsledky ukazují, že konkrétní závislost α na E/p je ve tvaru

$$\frac{\alpha}{p} = A e^{-\frac{Bp}{E}} \quad (5)$$

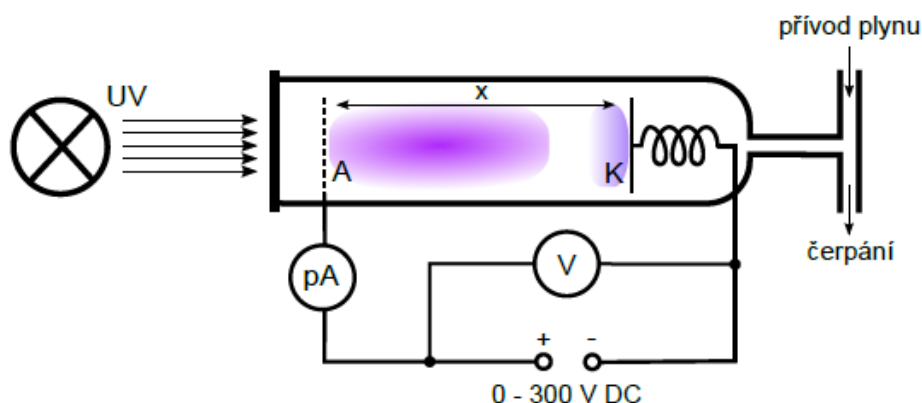
kde A a B jsou konstanty, pro které platí

$$U_i = \frac{B}{A} \quad (6)$$

kde U_i je ionizační potenciál plynu v aparatuře. Hodnotu konstant A a B lze určit experimentálně.

2 Měření a výsledky

Aparatura použitá v tomto praktiku je schematicky znázorněna na obr. 1. Jejími hlavními komponenty jsou zdroj napětí, rotační olejová vývěva, výbojka s pracovním plynem, rtuťová výbojka, jehlový ventil, Piraniho manometr, ampérmetr a voltmetr. Je založena na principu fotoelektrického jevu. Pomocí rtuťové výbojky osvětluje hliníkovou rovinnou katodu UV zářením, a produkujeme tak fotoelektrony. Ty jsou urychlovány homogenním elektrickým polem na mřížkovou anodu. Katodu můžeme posouvat, a tím měnit dráhu, po níž dochází k ionizaci neutrálů. Do výbojky, kterou čerpáme vakuovou vývěvou, je vpuštěný argon. Tlak se nastavuje jehlovým ventilem a měří Piraniho manometrem. Jedná se o nepřímý manometr, pro argon je tedy odečítaný tlak potřebné vynásobit faktorem 1,59.



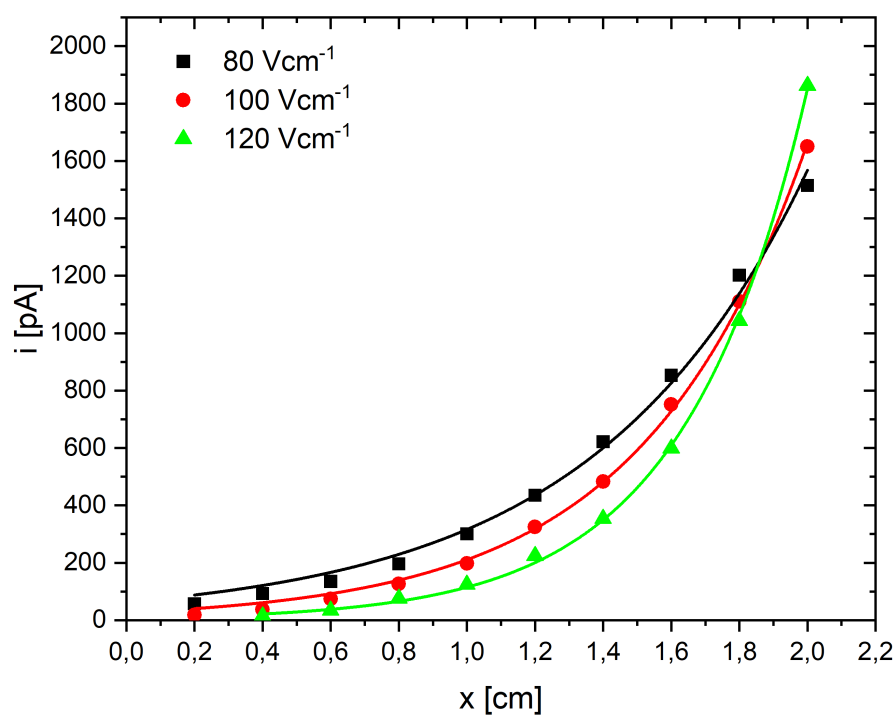
Obrázek 1: Schéma použité aparatury

Při měření musíme dbát na to, aby ve výbojce nevznikl samostatný výboj, tedy měříme pro hodnoty intenzity elektrického pole 80-120 V/cm. To v praxi udržujeme nastavením napětí na zdroji a přizpůsobením vzájemné vzdálenosti katody a UV výbojky. Výstupem z měření je poloha katody x , hodnota napětí U a proud i pro několik hodnot konstantní intenzity elektrického pole E . Pro každou změnu intenzity pole naladíme irisovou clonu UV výbojky tak, abychom měli maximální proud okolo 1800 pA z důvodu rozsahu na přístroji do 1999 pA. Proud je tedy řádově pA až nA, pro zlepšení přesnosti měření z ampérmetru odečítáme vždy 3 hodnoty a dále budeme pracovat s jejich průměrem. Tlak je konstantní o hodnotě $p = 79,5$ Pa.

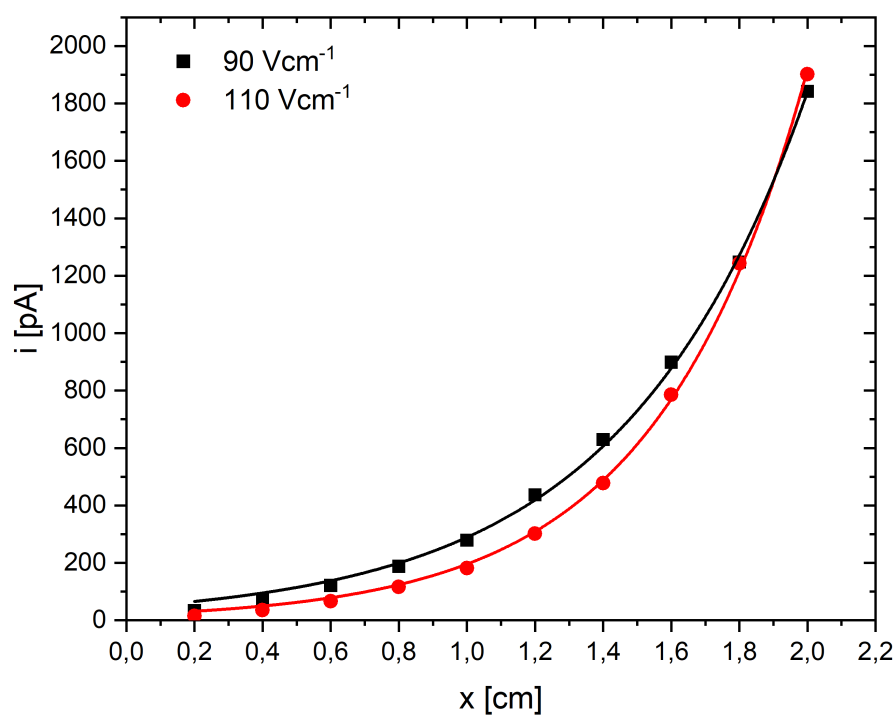
V rovnicích (2) a (3) lze nahradit počet elektronů proudem. Z naměřených dat můžeme sestavit graf závislosti $i = i_0 f(x)$, viz obr. 2 a obr. 3. Body jsou proložené exponenciální funkcí $i = i_0 e^{\alpha x}$, z toho získané i_0 a α jsou uvedené v levé části tabulky 1.

Dále můžeme vytvořit graf závislosti $\ln i = \ln i_0 + \alpha x$, viz obr. 4 a obr. 5. Závislost je proložená lineární funkcí $i = i_0 + \alpha x$, získané i_0 a α jsou uvedené v pravé části tabulky 1.

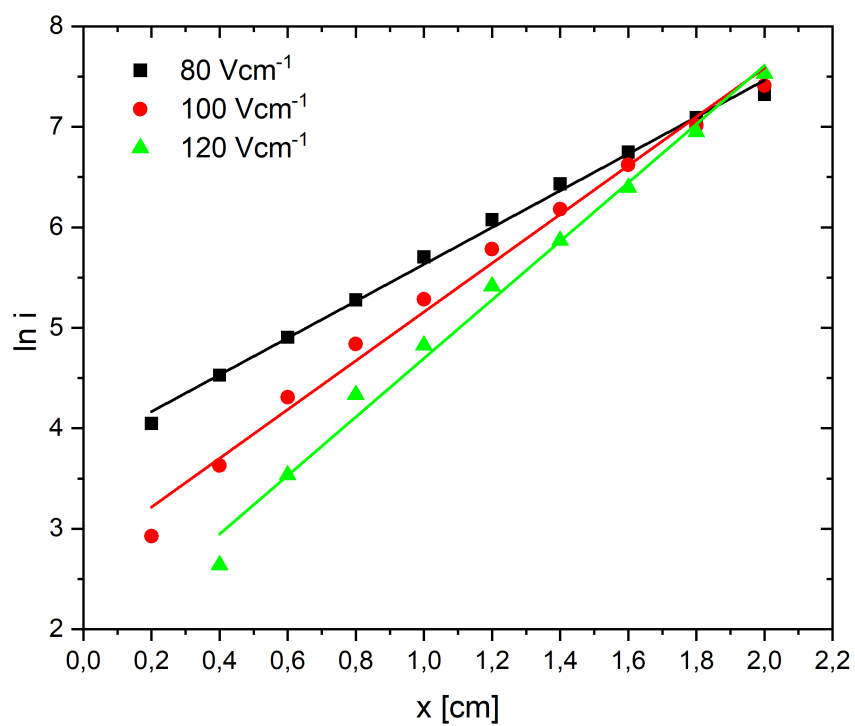
V obou případech je vidět, že s rostoucí intenzitou elektrického pole E proud i_0 klesá a ionizační koeficient α roste.



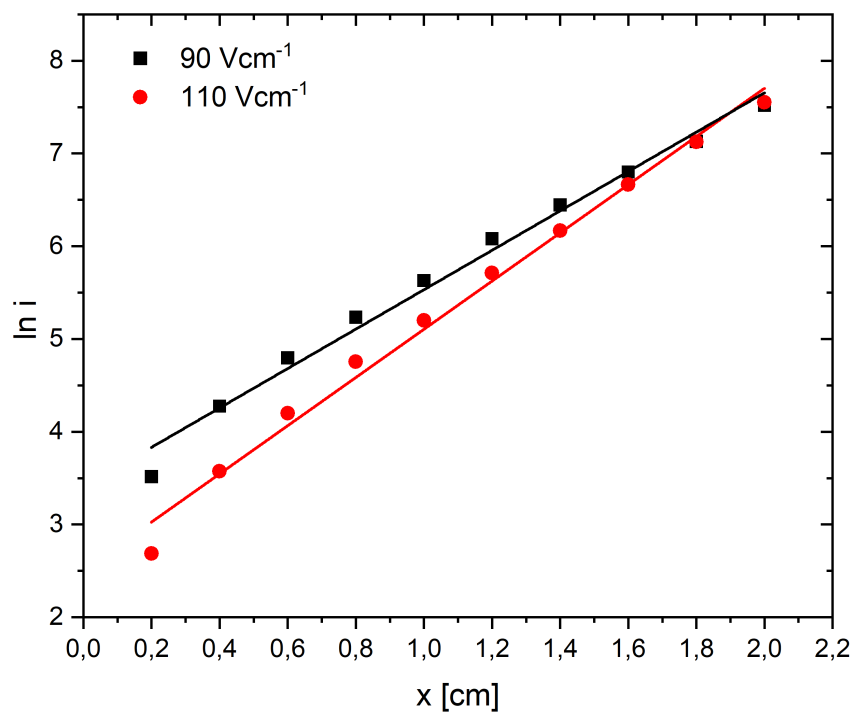
Obrázek 2: Graf závislosti i na x .



Obrázek 3: Graf závislosti i na x .



Obrázek 4: Graf závislosti $\ln i$ na x .

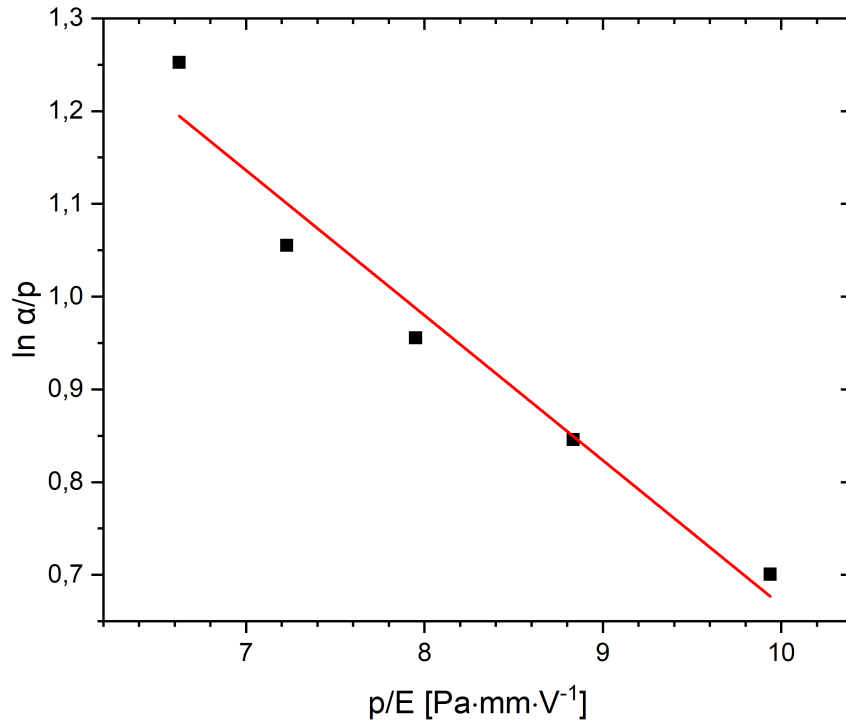


Obrázek 5: Graf závislosti $\ln i$ na x .

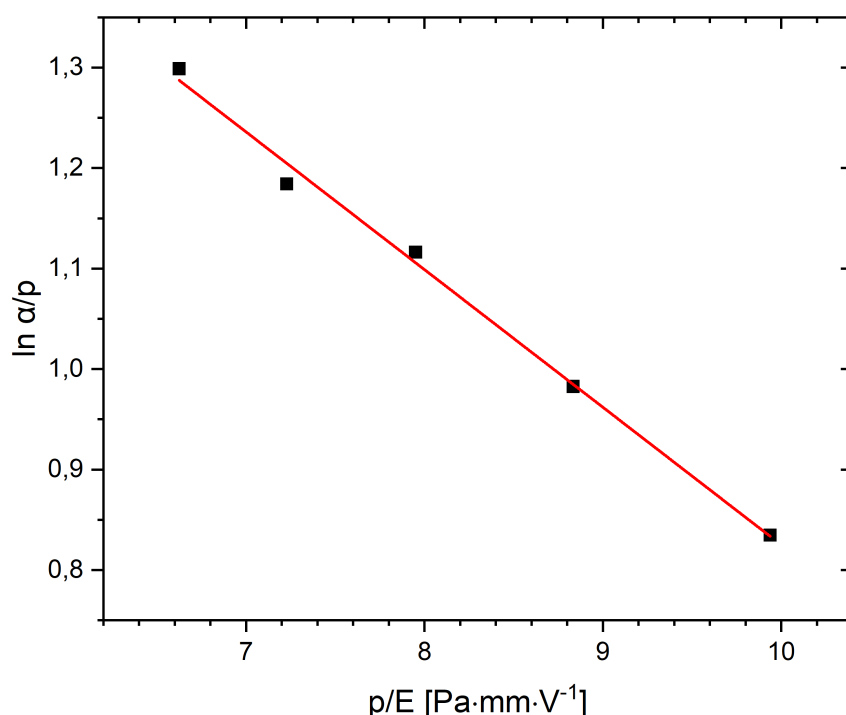
Tabulka 1: Hodnoty proudů i_0 a ionizačních koeficientů α pro různé hodnoty E .

E [Vcm ⁻¹]	$i = i_0 e^{\alpha x}$		$i = i_0 + \alpha x$	
	i_0 [pA]	α [cm ⁻¹]	i_0 [pA]	α [cm ⁻¹]
80	$63,7 \pm 6,6$	$1,60 \pm 0,06$	$44,7 \pm 1,1$	$1,83 \pm 0,04$
90	$45,3 \pm 2,8$	$1,85 \pm 0,03$	$30,2 \pm 1,1$	$2,12 \pm 0,08$
100	$26,7 \pm 1,7$	$2,07 \pm 0,03$	$15,3 \pm 1,1$	$2,43 \pm 0,09$
110	$19,9 \pm 1,2$	$2,23 \pm 0,03$	$12,3 \pm 1,1$	$2,60 \pm 0,09$
120	$7,1 \pm 0,5$	$2,80 \pm 0,04$	$5,9 \pm 1,2$	$2,91 \pm 0,11$

Jelikož jsme provedli měření pro několik hodnot E/p , můžeme sestavit grafy závislosti $\ln \alpha/p = f(p/E)$ a proložit jej lineární funkcí $\ln \alpha/p = \ln A - \frac{Bp}{E}$, která vychází z úpravy rovnice (5). To provedeme jak pro α získané z exponenciálního fitu, tak i pro α z lineárního fitu. Následně pomocí rovnice (6) určíme ionizační potenciál argonu U_i , viz tab. 2. Tabulková hodnota pro argon je $U_i = 15,76$ eV. Té se více přiblížil potenciál $U_i = (15,3 \pm 1,9)$ eV získaný po dosazení α z lineárního fitu.



Obrázek 6: Graf závislosti $\ln \alpha/p$ na p/E pro α z exponenciálního fitu.



Obrázek 7: Graf závislosti $\ln \alpha/p$ na p/E pro α z lineárního fitu.

Tabulka 2: Hodnoty konstant A , B a ionizačních potenciálů U_i argonu z $\ln \alpha/p = \ln A - \frac{Bp}{E}$.

Dosazení α z exponenciálního fitu			Dosazení α z lineárního fitu		
A	B	U_i [eV]	A	B	U_i [eV]
$9,3 \pm 1,2$	156 ± 18	$16,8 \pm 2,9$	$9,0 \pm 1,0$	137 ± 5	$15,3 \pm 1,9$

3 Závěr

Cílem této úlohy bylo seznámit se s Townsendovou teorií lavin. Z měření jsme ověřili exponenciální růst proudu s rostoucí vzdáleností elektrod. Také jsme určili první Townsendův koeficient pro různé hodnoty intenzity elektrického pole, který roste s rostoucí E . Nakonec jsme získali ionizační potenciál argonu ze závislosti $i = f(x)$ a $\ln i = f(x)$, který nám vyšel přesněji z lineárního proložení $\ln i = f(x)$ jako $U_i = (15,3 \pm 1,9)$ eV, tabulková hodnota je $U_i = 15,76$ eV. V případě fitu exponenciální závislosti metodou nejmenších čtverců mají body o vyšší y hodnotě ve fitu větší váhu než ty při nižších y . Tím může být do výsledné proložené křivky zanesena větší chyba než v případě lineárního fitu, který bývá oproti exponenciálnímu přesnější.